

# Généralisations de la théorie PAC-bayésienne pour l'apprentissage inductif, l'apprentissage transductif et l'adaptation de domaine

**Soutenance de thèse en informatique**

Pascal Germain

Département d'informatique et génie logiciel  
Université Laval, Québec, Canada

11 juin 2015

- 1 Mise en contexte
  - Apprentissage automatique et classification
  - Les classificateurs de vote de majorité
- 2 L'apprentissage inductif revisité
  - Théorème PAC-bayésien «classique»
  - Théorème PAC-bayésien général
- 3 Généralisations de la théorie PAC-bayésienne
  - Apprentissage transductif
  - Adaptation de domaine
- 4 Conclusion et travaux futurs

- 1 Mise en contexte
  - Apprentissage automatique et classification
  - Les classificateurs de vote de majorité
- 2 L'apprentissage inductif revisité
  - Théorème PAC-bayésien «classique»
  - Théorème PAC-bayésien général
- 3 Généralisations de la théorie PAC-bayésienne
  - Apprentissage transductif
  - Adaptation de domaine
- 4 Conclusion et travaux futurs

« *Field of study that gives computers the ability to learn without being explicitly programmed* »

– Arthur Samuel, 1959



# Exemple

## critiques de films

**-1** An insult to Douglas Adams' memory

I agree entirely with "darkgenius" comments. This movie is a travesty of the book and the TV series; a cutesy version totally lacking in the wit and satire of the original. [Read more](#)

Published 5 months ago by John W Beare

**+1** Don't Panic!

If you haven't listened to the BBC radio-play, this isn't bad! Purists, no doubt, will dispute my verdict but the fact of the matter is THGTTG (see title) does have Douglas Adams'...

[Read more](#)

Published on Mar 13 2011 by Sid Matheson

**+1** On Blu-ray, even better

I've seen this movie on TV and wanted to add it to my collection. I couldn't find it locally so when I saw it on amazon and on Blu-ray, I picked it up. [Read more](#)

Published on April 18 2009 by J. W. Little

**-1** An insult to Douglas Adams' memory

The filmmaker's reverence for Adams' legacy? What kind of rubbish statement is that? As a loyal fan of Douglas Adams for more than a quarter of a century, I was appalled and...

[Read more](#)

Published on Aug 22 2006 by Daniel Jolley

**???** Mindbending

I will not recommend this movie for people who haven't read at least two or three of Douglas Adams' books on hitchhiking. [Read more](#)

Published on Mar 28 2006 by alper bac



Classificateur



+1



# Exemple

## critiques de films

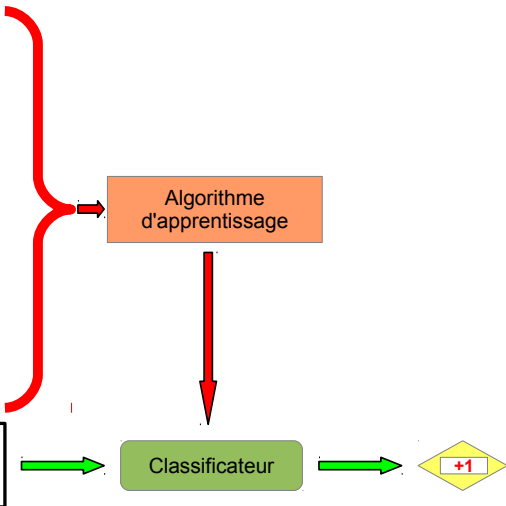
**-1** **An insult to Douglas Adams' memory**  
I agree entirely with "darkgenius" comments. This movie is a travesty of the book and the TV series; a cutesy version totally lacking in the wit and satire of the original. [Read more](#)  
Published 5 months ago by John W Beare

**+1** **Don't Panic!**  
If you haven't listened to the BBC radio-play, this isn't bad! Purists, no doubt, will dispute my verdict but the fact of the matter is THGTTG (see title) does have Douglas Adams'... [Read more](#)  
Published on Mar 13 2011 by Sid Matheson

**+1** **On Blu-ray, even better**  
I've seen this movie on TV and wanted to add it to my collection. I couldn't find it locally so when I saw it on amazon and on Blu-ray, I picked it up. [Read more](#)  
Published on April 18 2009 by J. W. Little

**-1** **An insult to Douglas Adams' memory**  
The filmmaker's reverence for Adams' legacy? What kind of rubbish statement is that? As a loyal fan of Douglas Adams for more than a quarter of a century, I was appalled and... [Read more](#)  
Published on Aug 22 2006 by Daniel Jolley

**???** **Mindbending**  
I will not recommend this movie for people who haven't read at least two or three of Douglas Adams' books on hitchhiking. [Read more](#)  
Published on Mar 28 2006 by alper bac



# Le pourquoi et le comment

## Nombreuses applications de l'apprentissage automatique

- Classification de texte
- Reconnaissance de la parole
- Recherche en bio-informatique
- ...



## Un problème d'actualité

- Grandes quantités de données à traiter
- Grandes capacités de traitement de l'information

## Mon approche

- Mieux comprendre le problème à l'aide d'outils mathématiques
- Formuler des garanties statistiques
- Concevoir de nouveaux algorithmes d'apprentissage

# Définitions de base

## Exemple d'apprentissage

Un exemple  $(x, y) \in \mathcal{X} \times \mathcal{Y}$  est une **paire description-étiquette**.

## Distribution génératrice des données

Chaque exemple est une **observation d'une distribution**  $D$  sur  $\mathcal{X} \times \mathcal{Y}$ .

## Échantillon d'apprentissage

$$S \stackrel{\text{def}}{=} \{ (x_1, y_1), (x_2, y_2), \dots, (x_m, y_m) \} \sim D^m$$

## Classificateur

$$h : \mathcal{X} \rightarrow \mathcal{Y}$$

## Classificateur binaire

$$h : \mathcal{X} \rightarrow \{-1, +1\}$$

## Algorithme d'apprentissage

$$A(S) \rightarrow h$$

# Risque d'un classificateur

## Risque (ou erreur de généralisation)

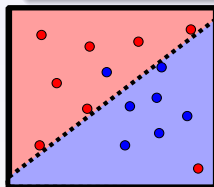
Probabilité d'erreur sur un exemple généré par la distribution  $D$  :

$$R_D(h) \stackrel{\text{def}}{=} \Pr_{(x,y) \sim D} (h(x) \neq y) = \mathbf{E}_{(x,y) \sim D} \mathbb{I}[y \cdot h(x) \leq 0],$$

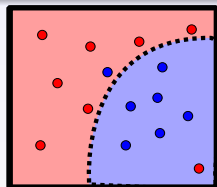
## Risque empirique

Taux d'erreur sur l'échantillon d'apprentissage  $S \sim D^m$  :

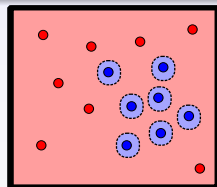
$$R_S(h) \stackrel{\text{def}}{=} \frac{1}{m} \sum_{i=1}^m \mathbb{I}[y_i \cdot h(x_i) \leq 0].$$



$$R_S(h) = \frac{2}{15} \simeq 13\%$$



$$R_S(h) = \frac{2}{15} \simeq 13\%$$



$$R_S(h) = \frac{0}{15} = 0\%$$

**Afin d'évaluer la qualité d'un classificateur  $h$ , nous désirons connaître son risque  $R_D(h)$ .**

Borne de type PAC (Probablement approximativement correctes)

Avec probabilité « $1-\delta$ », le risque du classificateur  $h$  est inférieur à « $\epsilon$ »

$$\Pr\left(R_D(h) \leq \epsilon\right) \geq 1-\delta$$

Deux catégories de garanties de généralisation

1. Bornes sur l'échantillon de test ;
2. Bornes sur l'échantillon d'entraînement.

# Théorie PAC-bayésienne

Initiée par David McAllester (1999), la théorie PAC-bayésienne permet de formuler des garanties sur le risque de **votes de majorité** de classificateurs.

## Inspiration bayésienne

Permet d'incorporer des connaissances *a priori* sur le problème d'apprentissage

## Bornes sur l'échantillon d'entraînement

- Permettent d'obtenir des garanties sur l'acuité des classificateurs **sans recourir à un ensemble test**
- Source d'inspiration pour la conception de **nouveaux algorithmes d'apprentissage.**

# Les classificateurs de vote de majorité

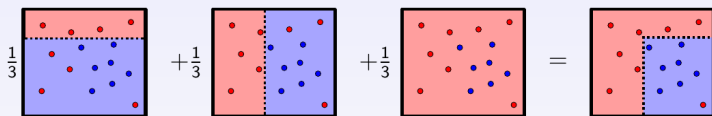
Étant donné :

- Un ensemble de **voteurs**  $\mathcal{H} = \{h_1, h_2, h_3, \dots\}$  ;
- Une distribution de **poils**  $Q$  sur  $\mathcal{H}$ .

## Vote de majorité

Pour classifier  $x$ , le classificateur considère l'*opinion majoritaire* parmi  $\mathcal{H}$

$$B_Q(x) \stackrel{\text{def}}{=} \text{sgn} \left( \mathbf{E}_{h \sim Q} h(x) \right)$$



Plusieurs algorithmes d'apprentissage construisent des votes de majorité

AdaBoost, Random Forests, Bagging, ...

# Risques

Étant donné

- Une distribution de données  $D$  sur  $\mathcal{X} \times \mathcal{Y}$
- Une distribution  $Q$  sur un ensemble de votants  $\mathcal{H}$

Risque du vote de majorité (risque de Bayes)

$$R_D(B_Q) \stackrel{\text{def}}{=} \mathbf{E}_{(x,y) \sim D} \mathbf{I} \left[ \mathbf{E}_{h \sim Q} y \cdot h(x) \leq 0 \right]$$

Risque de Gibbs

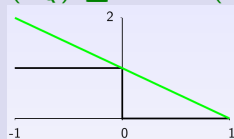
Le classificateur de Gibbs  $G_Q(x)$  pige un  $h$  selon  $Q$  et retourne  $h(x)$ .

$$\begin{aligned} R_D(G_Q) &\stackrel{\text{def}}{=} \mathbf{E}_{(x,y) \sim D} \mathbf{E}_{h \sim Q} \mathbf{I} \left[ y \cdot h(x) \leq 0 \right] \\ &= \mathbf{E}_{(x,y) \sim D} \left( \frac{1}{2} - \frac{1}{2} \mathbf{E}_{h \sim Q} y \cdot h(x) \right) \end{aligned}$$

Facteur 2

Il est connu dans la littérature que

$$R_D(B_Q) \leq 2 \times R_D(G_Q)$$



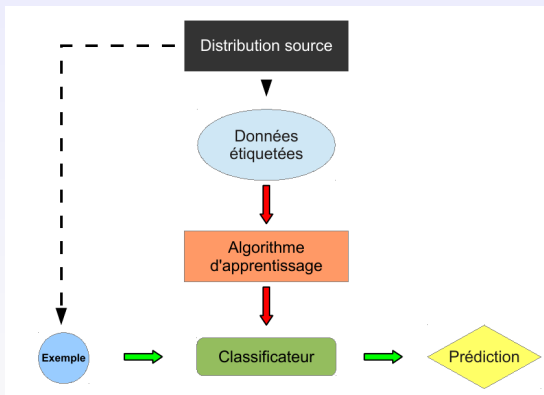
- 1 Mise en contexte
  - Apprentissage automatique et classification
  - Les classificateurs de vote de majorité
- 2 L'apprentissage inductif revisité
  - Théorème PAC-bayésien «classique»
  - Théorème PAC-bayésien général
- 3 Généralisations de la théorie PAC-bayésienne
  - Apprentissage transductif
  - Adaptation de domaine
- 4 Conclusion et travaux futurs

# Apprentissage inductif

## Hypothèse

Les exemples sont générés *i.i.d.* par une distribution  $D$  sur  $\mathcal{X} \times \mathcal{Y}$ .

$$S = \{ (x_1, y_1), (x_2, y_2), \dots, (x_m, y_m) \} \sim D^m$$



# Théorème PAC-bayésien «classique»

## Ingrédients de la théorie PAC-bayésiennes

- Le **risque empirique du classificateur de Gibbs**  $G_Q$  :

$$R_S(G_Q) \stackrel{\text{def}}{=} \sum_{i=1}^m \left( \frac{1}{2} - \frac{1}{2} \mathbf{E}_{h \sim Q} y_i \cdot h(x_i) \right)$$

- La **divergence Kullback-Leibler** entre le *prior*  $P$  et le *posterior*  $Q$  :

$$\text{KL}(Q \| P) \stackrel{\text{def}}{=} \mathbf{E}_{h \sim Q} \ln \frac{Q(h)}{P(h)}$$

## Théorème PAC-bayésien (*McAllester, 2003*)

Pour toute distribution  $D$  sur  $\mathcal{X} \times \mathcal{Y}$ , pour tout ensemble  $\mathcal{H}$  de votants, pour toute distribution  $P$  sur  $\mathcal{H}$ , pour tout  $\delta \in (0, 1]$ , on a, avec probabilité au moins  $1 - \delta$  sur le choix de  $S \sim D^m$ ,

$$\forall Q \text{ sur } \mathcal{H} : R_D(G_Q) \leq R_S(G_Q) + \sqrt{\frac{1}{2m} \left[ \text{KL}(Q \| P) + \ln \frac{2\sqrt{m}}{\delta} \right]}$$

$\Delta$ -fonction : «distance» entre le  $R_S(G_Q)$  et  $R_D(G_Q)$

Fonction  $\Delta : [0, 1] \times [0, 1] \rightarrow \mathbb{R}$  convexe.

## Théorème général

Pour toute distribution  $D$  sur  $\mathcal{X} \times \mathcal{Y}$ , pour tout ensemble  $\mathcal{H}$  de votants, pour toute distribution  $P$  sur  $\mathcal{H}$ , pour tout  $\delta \in (0, 1]$ , et pour toute  $\Delta$ -fonction, on a, avec probabilité au moins  $1 - \delta$  sur le choix de  $S \sim D^m$ ,

$$\forall Q \text{ sur } \mathcal{H} : \Delta\left(R_S(G_Q), R_D(G_Q)\right) \leq \frac{1}{m} \left[ \text{KL}(Q \| P) + \ln \frac{\mathcal{I}_\Delta(m)}{\delta} \right],$$

où

$$\mathcal{I}_\Delta(m) \stackrel{\text{def}}{=} \sup_{r \in [0, 1]} \left[ \sum_{k=0}^m \text{Bin}(k; m, r) e^{m\Delta\left(\frac{k}{m}, r\right)} \right]$$

# Théorème

$$\Pr_{S \sim D^m} \left( \forall Q \text{ sur } \mathcal{H} : \Delta \left( R_S(G_Q), R_D(G_Q) \right) \leq \frac{1}{m} \left[ \text{KL}(Q \| P) + \ln \frac{\mathcal{I}_\Delta(m)}{\delta} \right] \right) \geq 1 - \delta.$$

## Démonstration

$$m \cdot \Delta \left( \mathbf{E}_{h \sim Q} R_S(h), \mathbf{E}_{h \sim Q} R_D(h) \right)$$

Inégalité de Jensen

$$\leq \mathbf{E}_{h \sim Q} m \cdot \Delta \left( R_S(h), R_D(h) \right)$$

Changement de mesure

$$\leq \text{KL}(Q \| P) + \ln \mathbf{E}_{h \sim P} e^{m \Delta \left( R_S(h), R_D(h) \right)}$$

Inégalité de Markov

$$\leq_{1-\delta} \text{KL}(Q \| P) + \ln \frac{1}{\delta} \mathbf{E}_{S' \sim D^m} \mathbf{E}_{h \sim P} e^{m \cdot \Delta \left( R_{S'}(h), R_D(h) \right)}$$

Inversion des espérances

$$= \text{KL}(Q \| P) + \ln \frac{1}{\delta} \mathbf{E}_{h \sim P} \mathbf{E}_{S' \sim D^m} e^{m \cdot \Delta \left( R_{S'}(h), R_D(h) \right)}$$

Loi binomiale

$$= \text{KL}(Q \| P) + \ln \frac{1}{\delta} \mathbf{E}_{h \sim P} \sum_{k=0}^m \text{Bin}(k; m, R_D(h)) e^{m \cdot \Delta \left( \frac{k}{m}, R_D(h) \right)}$$

Supremum sur le risque

$$\leq \text{KL}(Q \| P) + \ln \frac{1}{\delta} \sup_{r \in [0,1]} \left[ \sum_{k=0}^m \text{Bin}(k; m, r) e^{m \Delta \left( \frac{k}{m}, r \right)} \right]$$

$$= \text{KL}(Q \| P) + \ln \frac{1}{\delta} \mathcal{I}_\Delta(m). \quad \square$$

## Corollaire

[...] avec probabilité au moins  $1-\delta$  sur le choix de  $S \sim D^m$ ,

$\forall Q$  sur  $\mathcal{H}$  :

$$(a) \quad \text{kl}\left(R_S(G_Q), R_D(G_Q)\right) \leq \frac{1}{m} \left[ \text{KL}(Q\|P) + \ln \frac{2\sqrt{m}}{\delta} \right], \quad (\text{Langford et Seeger, 2001})$$

$$(b) \quad R_D(G_Q) \leq R_S(G_Q) + \sqrt{\frac{1}{2m} \left[ \text{KL}(Q\|P) + \ln \frac{2\sqrt{m}}{\delta} \right]}, \quad (\text{McAllester, 1999})$$

$$(c) \quad R_D(G_Q) \leq \frac{1}{1 - e^{-c}} \left( c \cdot R_S(G_Q) + \frac{1}{m} \left[ \text{KL}(Q\|P) + \ln \frac{1}{\delta} \right] \right). \quad (\text{Catoni, 2007})$$

$$\text{kl}(q, p) \stackrel{\text{def}}{=} q \ln \frac{q}{p} + (1 - q) \ln \frac{1-q}{1-p} \geq 2(q - p)^2,$$

$$\Delta_c(q, p) \stackrel{\text{def}}{=} -\ln[1 - (1 - e^{-c}) \cdot p] - c \cdot q.$$

# Théorie PAC-bayésienne pour l'espérance de désaccord

## Espérance de désaccord

$$d_Q^D \stackrel{\text{def}}{=} \mathbf{E}_{(x, \cdot) \sim D} \mathbf{E}_{h_1 \sim Q} \mathbf{E}_{h_2 \sim Q} \mathbb{I} \left[ h_1(x) \neq h_2(x_i) \right]$$

## Théorème général

[...] avec probabilité au moins  $1-\delta$  sur le choix de  $S \sim D^m$ ,

$$\forall Q \text{ sur } \mathcal{H} : \Delta \left( d_Q^S, d_Q^D \right) \leq \frac{1}{m} \left[ 2 \text{KL}(Q \| P) + \ln \frac{\mathcal{I}_\Delta(m)}{\delta} \right],$$

## Corollaire

- (a)  $\text{kl} \left( d_Q^S, d_Q^D \right) \leq \frac{1}{m} \left[ 2 \text{KL}(Q \| P) + \ln \frac{2\sqrt{m}}{\delta} \right],$
- (b)  $d_Q^D \leq d_Q^S + \sqrt{\frac{1}{2m} \left[ 2 \text{KL}(Q \| P) + \ln \frac{2\sqrt{m}}{\delta} \right]},$
- (c)  $d_Q^D \leq \frac{1}{1-e^{-c}} \left( c \cdot d_Q^S + \frac{1}{m} \left[ 2 \text{KL}(Q \| P) + \ln \frac{1}{\delta} \right] \right).$

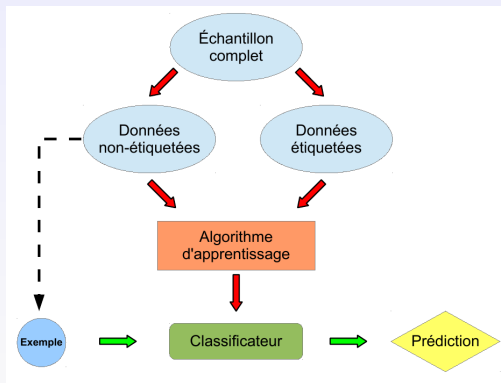
- 1 Mise en contexte
  - Apprentissage automatique et classification
  - Les classificateurs de vote de majorité
- 2 L'apprentissage inductif revisité
  - Théorème PAC-bayésien «classique»
  - Théorème PAC-bayésien général
- 3 Généralisations de la théorie PAC-bayésienne
  - Apprentissage transductif
  - Adaptation de domaine
- 4 Conclusion et travaux futurs

# Apprentissage transductif

## Hypothèse

Les données sont pigés sans remise d'un ensemble complet  $Z$  de taille  $N$ .

$$S = \{ (x_1, y_1), (x_2, y_2), \dots, (x_m, y_m) \} \subset Z$$
$$U = \{ (x_{m+1}, \cdot), (x_{m+2}, \cdot), \dots, (x_N, \cdot) \} = Z \setminus S$$



# Théorème général pour l'apprentissage transductif

Cadre inductif  $\Rightarrow m$  piges avec remises selon  $D \Rightarrow$  Loi binomiale.

Cadre transductif  $\Rightarrow m$  piges sans remises dans  $Z \Rightarrow$  Loi hypergéométrique.

## Théorème

*Pour tout échantillon de données  $Z$  contenant  $N$  exemples, pour tout ensemble  $\mathcal{H}$  de votants, pour toute distribution  $P$  sur  $\mathcal{H}$ , pour tout  $\delta \in (0, 1]$ , et pour toute  $\Delta$ -fonction, on a, avec probabilité au moins  $1 - \delta$  sur le choix  $S$  de  $m$  exemples parmi  $Z$ ,*

$$\forall Q \text{ sur } \mathcal{H} : \quad \Delta(R_S(G_Q), R_Z(G_Q)) \leq \frac{1}{m} \left[ \text{KL}(Q \| P) + \ln \frac{\mathcal{T}_\Delta(m, N)}{\delta} \right],$$

où

$$\mathcal{T}_\Delta(m, N) \stackrel{\text{def}}{=} \max_{K=0 \dots N} \left[ \sum_{k \in \mathcal{K}_{m, N, K}} \frac{\binom{K}{k} \binom{N-K}{m-k}}{\binom{N}{m}} e^{m \Delta(\frac{k}{m}, \frac{K}{N})} \right],$$

et  $\mathcal{K}_{m, N, K} \stackrel{\text{def}}{=} \{ \max[0, K + m - N], \dots, \min[m, K] \}$ .

# Théorème

$$\Pr_{S \sim [Z]^m} \left( \forall Q \text{ sur } \mathcal{H} : \Delta \left( R_S(G_Q), R_Z(G_Q) \right) \leq \frac{1}{m} \left[ \text{KL}(Q \| P) + \ln \frac{\mathcal{T}_\Delta(m, N)}{\delta} \right] \right) \geq 1 - \delta.$$

## Démonstration

$$m \cdot \Delta \left( \mathbf{E}_{h \sim Q} R_S(h), \mathbf{E}_{h \sim Q} R_Z(h) \right)$$

Inégalité de Jensen

$$\leq \mathbf{E}_{h \sim Q} m \cdot \Delta \left( R_S(h), R_Z(h) \right)$$

Changement de mesure

$$\leq \text{KL}(Q \| P) + \ln \mathbf{E}_{h \sim P} e^{m \Delta \left( R_S(h), R_Z(h) \right)}$$

Inégalité de Markov

$$\leq_{1-\delta} \text{KL}(Q \| P) + \ln \frac{1}{\delta} \mathbf{E}_{S' \sim [Z]^m} \mathbf{E}_{h \sim P} e^{m \cdot \Delta \left( R_{S'}(h), R_Z(h) \right)}$$

Inversion des espérances

$$= \text{KL}(Q \| P) + \ln \frac{1}{\delta} \mathbf{E}_{h \sim P} \mathbf{E}_{S' \sim [Z]^m} e^{m \cdot \Delta \left( R_{S'}(h), R_Z(h) \right)}$$

Loi hypergéométrique

$$= \text{KL}(Q \| P) + \ln \frac{1}{\delta} \mathbf{E}_{h \sim P} \sum_{k \in \mathcal{K}_{m, N, N \cdot R_Z(h)}} \frac{\binom{N \cdot R_Z(h)}{k} \binom{N - N \cdot R_Z(h)}{m - k}}{\binom{N}{m}} e^{m \cdot \Delta \left( \frac{k}{m}, R_Z(h) \right)}$$

Supremum sur le risque

$$\leq \text{KL}(Q \| P) + \ln \frac{1}{\delta} \max_{K=0 \dots N} \left[ \sum_{k \in \mathcal{K}_{m, N, K}} \frac{\binom{K}{k} \binom{N-K}{m-k}}{\binom{N}{m}} e^{m \Delta \left( \frac{k}{m}, \frac{K}{N} \right)} \right]$$

$$= \text{KL}(Q \| P) + \ln \frac{1}{\delta} \mathcal{T}_\Delta(m, N). \quad \square$$

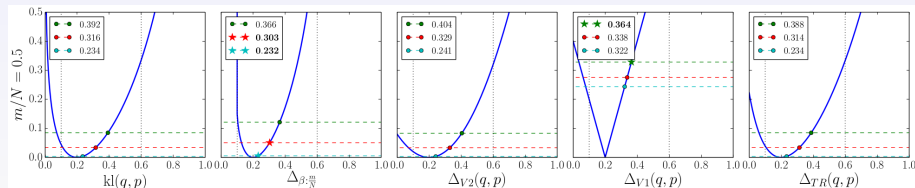
# Choix de la $\Delta$ -fonction

## Théorème

$$\Pr_{S \sim [Z]^m} \left( \forall Q \text{ sur } \mathcal{H} : \Delta \left( R_S(G_Q), R_Z(G_Q) \right) \leq \frac{1}{m} \left[ \text{KL}(Q \| P) + \ln \frac{\mathcal{T}_\Delta(m, N)}{\delta} \right] \right) \geq 1 - \delta.$$

On peut évaluer numériquement  $\mathcal{T}_\Delta(m, N)$  pour toute  $\Delta$ -fonction.

$$\mathcal{T}_\Delta(m, N) \stackrel{\text{def}}{=} \max_{K=0 \dots N} N \left[ \sum_{k \in \mathcal{K}_{m, N, K}} \frac{\binom{K}{k} \binom{N-K}{m-k}}{\binom{N}{m}} e^{m \Delta \left( \frac{k}{m}, \frac{K}{N} \right)} \right].$$



# Une $\Delta$ -fonction pour le cas transductif

## Cadre inductif

(inspiré par Maurer, 2004)

$$\text{kl}(q, p) \stackrel{\text{def}}{=} q \ln \frac{q}{p} + (1 - q) \ln \frac{1-q}{1-p} \geq 2(q - p)^2 \quad \Rightarrow \quad \mathcal{I}_{\text{kl}}(m) \leq 2\sqrt{m}$$

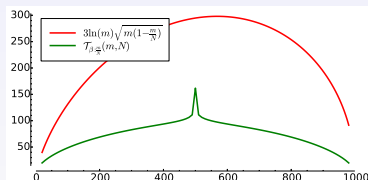
## Cadre transductif

$$\Delta_{\beta}(q, p) = \text{kl}(q, p) + \frac{1-\beta}{\beta} \text{kl}\left(\frac{p-\beta q}{1-\beta}, p\right).$$

## Théorème

Soit  $m$  et  $N$  des entiers tels que  
 $20 \leq m \leq N-20$ , alors

$$\mathcal{T}_{\beta: \frac{m}{N}}(m, N) \leq 3 \ln(m) \sqrt{m \left(1 - \frac{m}{N}\right)}.$$



# Borne sur le risque de Gibbs

## Corollaire

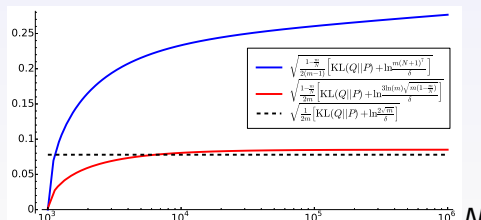
[...] avec probabilité au moins  $1-\delta$  sur le choix  $S$  de  $m$  exemples parmi  $Z$ ,

$\forall Q$  sur  $\mathcal{H}$  :

$$R_Z(G_Q) \leq R_S(G_Q) + \sqrt{\frac{1-\frac{m}{N}}{2m} \left[ \text{KL}(Q\|P) + \ln \frac{3 \ln(m) \sqrt{m(1-\frac{m}{N})}}{\delta} \right]}.$$

## Théorème (Derbeko et al., 2004)

$$R_Z(G_Q) \leq R_S(G_Q) + \sqrt{\frac{1-\frac{m}{N}}{2(m-1)} \left[ \text{KL}(Q\|P) + \ln \frac{m(N+1)^7}{\delta} \right]}.$$



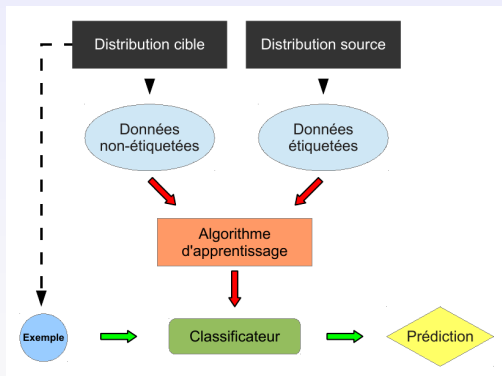
# Comparaison empirique avec Derbeko et al., 2004

Ensemble de données	N	m/N	$R_S(G_Q)$	Nous	Derbeko
car	1728	0.1	0.193	<b>0.555</b>	0.793
		0.5	0.179	<b>0.418</b>	0.496
letter_AB	1555	0.1	0.146	<b>0.469</b>	0.718
		0.5	0.171	<b>0.402</b>	0.485
mushroom	8124	0.1	0.202	<b>0.486</b>	0.609
		0.5	0.205	<b>0.439</b>	0.479
nursery	12959	0.1	0.169	<b>0.404</b>	0.504
		0.5	0.167	<b>0.357</b>	0.391
optdigits	3823	0.1	0.208	<b>0.533</b>	0.703
		0.5	0.210	<b>0.460</b>	0.516
pageblock	5473	0.1	0.199	<b>0.495</b>	0.642
		0.5	0.208	<b>0.448</b>	0.497
pendigits	7494	0.1	0.209	<b>0.499</b>	0.629
		0.5	0.215	<b>0.457</b>	0.500
segment	2310	0.1	0.206	<b>0.558</b>	0.769
		0.5	0.206	<b>0.462</b>	0.532
spambase	4601	0.1	0.222	<b>0.553</b>	0.708
		0.5	0.225	<b>0.488</b>	0.539

## Hypothèse

Les exemples sources et cibles sont générés par des distributions différentes.

$$S = \{ (x_1, y_1), (x_2, y_2), \dots, (x_m, y_m) \} \sim (D_S)^m$$
$$T = \{ (x_1, \cdot), (x_2, \cdot), \dots, (x_m, \cdot) \} \sim (D_T)^m$$



# Nouvelle borne pour l'adaptation de domaine

$\mathcal{H}\Delta\mathcal{H}$ -distance (Ben-David et al., 2006, 2010)

$$d_{\mathcal{H}\Delta\mathcal{H}}(D_S, D_T) \stackrel{\text{def}}{=} 2 \sup_{h, h' \in \mathcal{H}} \left| \mathbf{E}_{(x^S, \cdot) \sim D_S} \mathbb{I}[h(x^S) \neq h'(x^S)] - \mathbf{E}_{(x^T, \cdot) \sim D_T} \mathbb{I}[h(x^T) \neq h'(x^T)] \right|$$

Désaccord entre distributions

$$\text{dis}_Q(D_S, D_T) \stackrel{\text{def}}{=} \left| d_Q^{D_T} - d_Q^{D_S} \right|$$

Théorème

[...] avec probabilité au moins  $1 - \delta$  sur le choix de  $S \times T \sim (D_S \times D_T)^m$ , on a

$\forall Q$  sur  $\mathcal{H}$  :

$$R_{D_T}(G_Q) \leq c' \cdot R_S(G_Q) + a' \cdot \text{dis}_Q(S, T) + \left( \frac{c'}{c} + \frac{2a'}{a} \right) \frac{\text{KL}(Q \| P) + \ln \frac{3}{\delta}}{m} + \lambda_Q^* + a' - 1$$

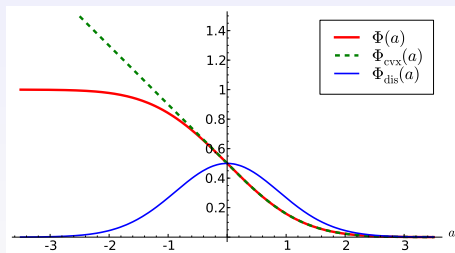
$$\text{où } a' \stackrel{\text{def}}{=} \frac{2a}{1 - e^{-2a}} \text{ et } c' \stackrel{\text{def}}{=} \frac{c}{1 - e^{-c}}.$$

# Nouvel algorithme pour l'adaptation de domaine

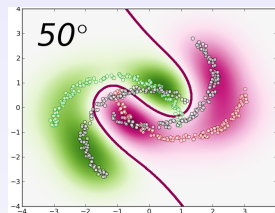
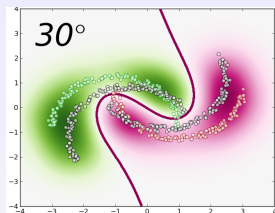
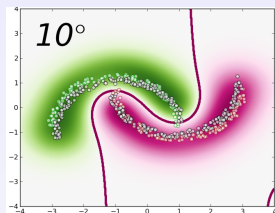
## PBDA

Algorithme de minimisation de la borne pour classificateurs linéaires.

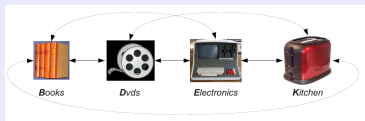
$$C \sum_{i=1}^m \Phi_{\text{cvx}} \left( y_i^S \frac{\mathbf{w} \cdot \mathbf{x}_i^S}{\|\mathbf{x}_i^S\|} \right) + A \left| \sum_{i=1}^m \Phi_{\text{dis}} \left( \frac{\mathbf{w} \cdot \mathbf{x}_i^S}{\|\mathbf{x}_i^S\|} \right) - \Phi_{\text{dis}} \left( \frac{\mathbf{w} \cdot \mathbf{x}_i^T}{\|\mathbf{x}_i^T\|} \right) \right| + \frac{\|\mathbf{w}\|^2}{2}$$



# Résultats sur un problème jouet

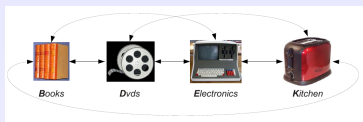


# Résultats empiriques sur des données réelles



source → cible	PBGD	SVM	DASVM	CODA	PBDA
books→dvds	<b>0.174</b>	0.179	0.193	0.181	0.183
books→electronics	0.275	0.290	<b>0.226</b>	0.232	0.263
books→kitchen	0.236	0.251	<b>0.179</b>	0.215	0.229
dvds→books	<b>0.192</b>	0.203	0.202	0.217	0.197
dvds→electronics	0.256	0.269	<b>0.186</b>	0.214	0.241
dvds→kitchen	0.211	0.232	0.183	<b>0.181</b>	0.186
electronics→books	0.268	0.287	0.305	0.275	<b>0.232</b>
electronics→dvds	0.245	0.267	<b>0.214</b>	0.239	0.221
electronics→kitchen	<b>0.127</b>	0.129	0.149	0.134	0.141
kitchen→books	0.255	0.267	0.259	<b>0.247</b>	<b>0.247</b>
kitchen→dvds	0.244	0.253	<b>0.198</b>	0.238	0.233
kitchen→electronics	0.235	0.149	0.157	0.153	<b>0.129</b>
<b>Moyenne</b>	0.226	0.231	<b>0.204</b>	0.210	0.208

# Résultats empiriques sur des données réelles



source → cible	PBGD	SVM	DASVM	CODA	PBDA	DALC
books→dvds	<b>0.174</b>	0.179	0.193	0.181	0.183	0.178
books→electronics	0.275	0.290	0.226	0.232	0.263	<b>0.212</b>
books→kitchen	0.236	0.251	<b>0.179</b>	0.215	0.229	0.194
dvds→books	0.192	0.203	0.202	0.217	0.197	<b>0.186</b>
dvds→electronics	0.256	0.269	<b>0.186</b>	0.214	0.241	0.245
dvds→kitchen	0.211	0.232	0.183	0.181	0.186	<b>0.175</b>
electronics→books	0.268	0.287	0.305	0.275	<b>0.232</b>	0.240
electronics→dvds	0.245	0.267	<b>0.214</b>	0.239	0.221	0.256
electronics→kitchen	0.127	0.129	0.149	0.134	0.141	<b>0.123</b>
kitchen→books	0.255	0.267	0.259	0.247	0.247	<b>0.236</b>
kitchen→dvds	0.244	0.253	<b>0.198</b>	0.238	0.233	0.225
kitchen→electronics	0.235	0.149	0.157	0.153	<b>0.129</b>	0.131
<b>Moyenne</b>	0.226	0.231	0.204	0.210	0.208	<b>0.200</b>

- 1 Mise en contexte
  - Apprentissage automatique et classification
  - Les classificateurs de vote de majorité
- 2 L'apprentissage inductif revisité
  - Théorème PAC-bayésien «classique»
  - Théorème PAC-bayésien général
- 3 Généralisations de la théorie PAC-bayésienne
  - Apprentissage transductif
  - Adaptation de domaine
- 4 Conclusion et travaux futurs

## Analyse PAC-bayésienne de trois cadres d'apprentissages :

### 1. Apprentissage inductif

- Approche générale permettant de déduire plusieurs résultats existants.
- Approche modulaire permettant d'adapter la théorie à d'autres cadres.

### 2. Apprentissage transductif

- Amélioration substantielle de la borne existante.

### 3. Adaptation de domaine

- Première borne PAC-bayésienne pour l'adaptation de domaine.
- Algorithme d'apprentissage avec des assises théoriques.

## Autres contributions :

- Théorie PAC-bayésienne pour votants dépendants des données
- Théorèmes PAC-bayésiens sans terme  $KL(Q\|P)$
- Réseaux de neurones adaptatif (apprentissage de représentation)

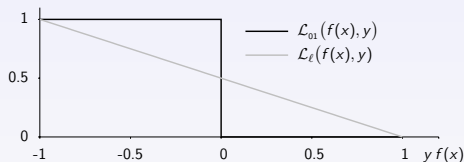
1. Apprentissage transductif
  - Conception de nouveaux algorithmes d'apprentissage
2. Adaptation de domaine
  - Améliorer le temps de calcul des algorithmes PBDA / DALC
  - Combiner avec d'autres approches d'adaptation de domaines (repondération des exemples source, apprentissage des représentations)
3. Étudier d'autres cadres d'apprentissage !

## 5 Annexe

Fonctions de pertes  $\mathcal{L} : \bar{\mathcal{Y}} \times \mathcal{Y} \rightarrow [0, 1]$

Perte zéro-un :  $\mathcal{L}_{01}(f(x), y) \stackrel{\text{def}}{=} \mathbb{I}[y f(x) \leq 0]$ ,

Perte linéaire :  $\mathcal{L}_\ell(f(x), y) \stackrel{\text{def}}{=} \frac{1}{2}(1 - y f(x))$ .

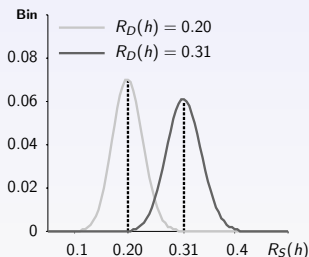


# Risque d'un votant et loi binomiale

## Probabilité d'observer $k$ erreurs parmi $m$ exemples

Pour un votant  $h(\cdot)$  de risque  $R_D(h)$ , on considère une **variable binomiale** de  $m$  essais avec probabilité de succès  $R_D(h)$  :

$$\begin{aligned}\text{Bin}(k; m, R_D(h)) &\stackrel{\text{def}}{=} \Pr_{S \sim D^m} \left( R_S(h) = \frac{k}{m} \right) \\ &= \binom{m}{k} \left( R_D(h) \right)^k \left( 1 - R_D(h) \right)^{m-k}.\end{aligned}$$



# Risque et loi hypergéométrique

Cadre inductif  $\Rightarrow m$  piges avec remises selon  $D \Rightarrow$  Loi binomiale.

Cadre transductif  $\Rightarrow m$  piges sans remises dans  $Z \Rightarrow$  Loi hypergéométrique.

## Probabilité d'observer $k$ erreurs parmi $m$ exemples

Pour un votant  $h$  de risque  $R_Z(h)$ , on considère une **variable hypergéométrique** de  $m$  piges parmi une population de taille  $N$  contenant  $N \cdot R_Z(h)$  succès.

$$\Pr_{S \sim [Z]^m} \left( R_S(h) = \frac{k}{m} \right) = \frac{\binom{N \cdot R_Z(h)}{k} \binom{N - N \cdot R_Z(h)}{m - k}}{\binom{N}{m}},$$

pour tout  $k \in \{ \max[0, N \cdot R_Z(h) + m - N], \dots, \min[m, N \cdot R_Z(h)] \}$ .

# Marge du vote de majorité

## Marge sur un exemple $(x, y)$

$$M_Q(x, y) \stackrel{\text{def}}{=} \mathbf{E}_{h \sim Q} y \cdot h(x).$$

## Marge sur une distribution $D$

La **variable aléatoire**  $M_Q^D$  donne la marge sur exemple généré par  $D$ .

## Risque de Bayes

$$R_D(B_Q) = \Pr_{(x, y) \sim D} (M_Q(x, y) \leq 0)$$

## Risque de Gibbs

$$R_D(G_Q) = \frac{1}{2} (1 - \mu_1(M_Q^D))$$

## Espérance de désaccord

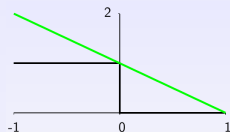
$$d_Q^D \stackrel{\text{def}}{=} \mathbf{E}_{(x, \cdot) \sim D} \mathbf{E}_{h_1 \sim Q} \mathbf{E}_{h_2 \sim Q} \mathbb{I}[h_1(x) \neq h_2(x)] = \frac{1}{2} (1 - \mu_2(M_Q^D))$$

# De la borne du facteur 2 à la $\mathcal{C}$ -borne

En appliquant l'inégalité de Markov ( $\Pr(X \geq a) \leq \frac{\mathbf{E}X}{a}$ ), on obtient :

## Borne du facteur 2

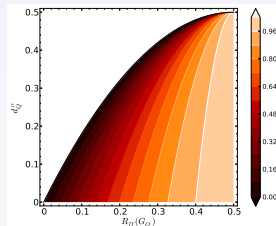
$$\begin{aligned} R_D(B_Q) &= \Pr_{(x,y) \sim D} (1 - M_Q(x,y) \geq 1) \\ &\leq \mathbf{E}_{(x,y) \sim D} (1 - M_Q(x,y)) \\ &= 1 - \mu_1(M_Q^D) = 2 R_D(G_Q). \end{aligned}$$



Par l'inégalité de Tchebychev ( $\Pr(X - \mathbf{E}X \geq a) \leq \frac{\text{Var } X}{a^2 + \text{Var } X}$ ), on obtient :

## La $\mathcal{C}$ -borne (Lacasse et al., 2006)

$$R_D(B_Q) \leq \mathcal{C}_Q^D \stackrel{\text{def}}{=} 1 - \frac{(1 - 2 \cdot R_D(G_Q))^2}{1 - 2 \cdot d_Q^D}$$



## Borne du vote de majorité

Pour toute distribution  $D$  sur  $\mathcal{X} \times \mathcal{Y}$ , pour tout ensemble  $\mathcal{H}$  de votants, pour toute distribution  $P$  sur  $\mathcal{H}$ , et pour tout  $\delta \in (0, 1]$ , on a, avec probabilité au moins  $1 - \delta$  sur le choix de  $S \sim D^m$ ,

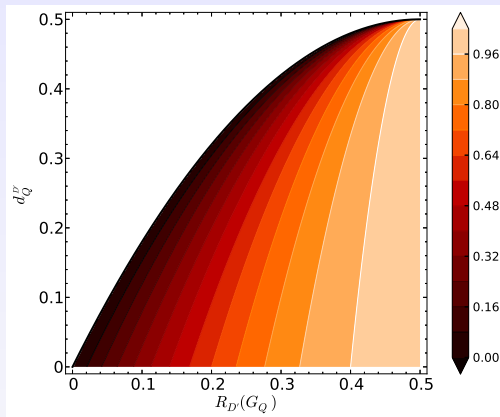
$$\forall Q \text{ sur } \mathcal{H} : R_D(B_Q) \leq C_Q^D \leq 1 - \frac{\left(1 - 2 \cdot \sup \mathcal{R}_{Q,S}^{\delta/2}\right)^2}{1 - 2 \cdot \inf \mathcal{D}_{Q,S}^{\delta/2}},$$

où

$$\mathcal{R}_{Q,S}^{\delta/2} \stackrel{\text{def}}{=} \left\{ r \in [0, \frac{1}{2}] \mid \text{kl}(R_S(G_Q), r) \leq \frac{1}{m} \left[ \text{KL}(Q \| P) + \ln \frac{2\sqrt{m}}{\delta/2} \right] \right\},$$

$$\mathcal{D}_{Q,S}^{\delta/2} \stackrel{\text{def}}{=} \left\{ d \in [0, \frac{1}{2}] \mid \text{kl}(d_Q^S, d) \leq \frac{1}{m} \left[ 2 \text{KL}(Q \| P) + \ln \frac{2\sqrt{m}}{\delta/2} \right] \right\}.$$

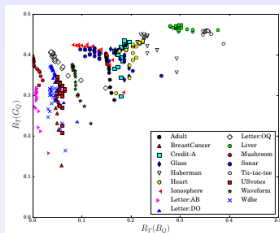
# Comportement de la $\mathcal{C}$ -borne



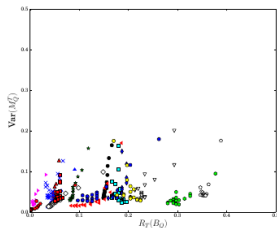
## Proposition

$$R_{D'}(G_Q) \leq d_Q^{D'} \iff \mathcal{C}_Q^{D'} \leq 2R_{D'}(G_Q)$$

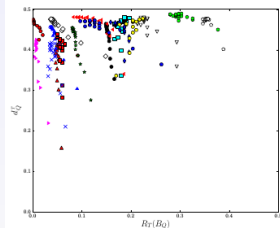
# Étude empirique de la $\mathcal{C}$ -borne



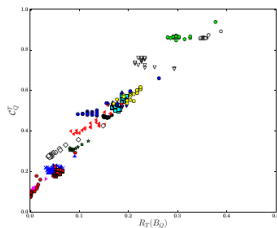
(a) Gibbs's risk.



(b) Variance of the margin.

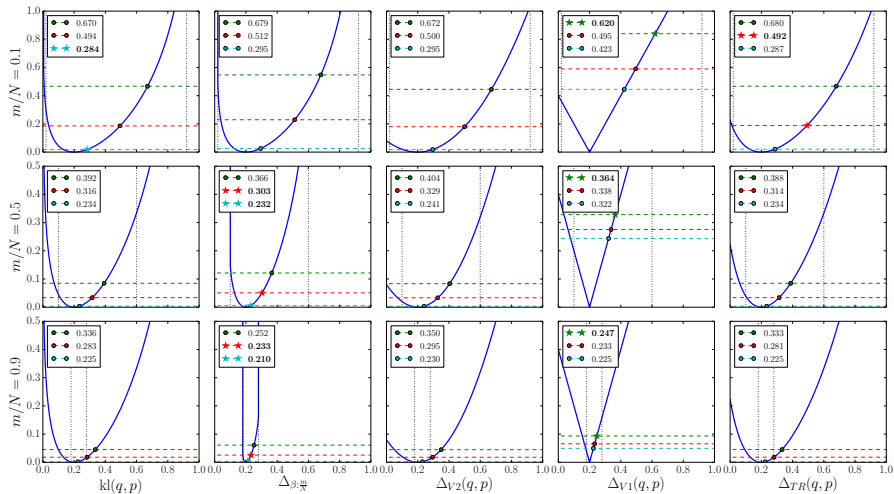


(c) Expected disagreement.



(d)  $\mathcal{C}$ -bound.

# Comparaisons de plusieurs $\Delta$ -fonctions



# Conception d'une $\Delta$ -fonction pour le cas transductif

$$\Delta_{\beta}(q, p) \stackrel{\text{def}}{=} \frac{H(\beta) - pH(\beta \frac{q}{p}) - (1-p)H(\beta \frac{1-q}{1-p})}{\beta}.$$

avec  $H(q) \stackrel{\text{def}}{=} -q \ln q - (1-q) \ln(1-q)$

Fixons  $\beta := \frac{m}{N}$

$$\begin{aligned} \mathcal{T}_{\beta: \frac{m}{N}}(m, N) &= \max_{K=0 \dots N} \left[ \sum_{k \in \mathcal{K}_{m, N, K}} \frac{\binom{K}{k} \binom{N-K}{m-k}}{\binom{N}{m}} e^{NH(\frac{m}{N}) - KH(\frac{k}{K}) - (N-K)H(\frac{m-k}{N-K})} \right] \\ &= \max_{K=0 \dots N} \left[ \sum_{k \in \mathcal{K}_{m, N, K}} \frac{\alpha(k, K) \alpha(m-k, N-K)}{\alpha(m, N)} \right] \end{aligned}$$

où  $\alpha(a, b) \stackrel{\text{def}}{=} \binom{b}{a} \left(\frac{a}{b}\right)^a \left(1 - \frac{a}{b}\right)^{b-a}$

# Bornes sur le risque de Bayes (transductif)

## Borne du vote de majorité

Pour tout échantillon de données  $Z$  contenant  $N \geq 42$  exemples, pour tout ensemble  $\mathcal{H}$  de votants, pour toute distribution  $P$  sur  $\mathcal{H}$ , et pour tout  $\delta \in (0, 1]$ , on a, avec probabilité au moins  $1 - \delta$  sur le choix  $S$  de  $m$  exemples parmi  $Z$ ,

$\forall Q$  sur  $\mathcal{H}$  :

$$(a) \quad R_Z(B_Q) \leq 2 \cdot \sup \mathcal{R}_{Q,S}^{\delta, \beta} \quad (\text{Facteur 2})$$

$$(b) \quad R_Z(B_Q) \leq 1 - \frac{\left(1 - 2 \cdot \sup \mathcal{R}_{Q,S}^{\delta, \beta}\right)^2}{1 - 2 \cdot d_Q^Z} \quad (\text{C-borne})$$

où

$$\mathcal{R}_{Q,S}^{\delta, \beta} \stackrel{\text{def}}{=} \left\{ r \in [0, \frac{1}{2}] \mid \Delta_{\beta \cdot \frac{m}{N}}(R_S(G_Q), r) \leq \frac{1}{m} \left[ \text{KL}(Q \| P) + \ln \frac{3 \ln(m) \sqrt{m(1 - \frac{m}{N})}}{\delta} \right] \right\},$$

$$d_Q^Z = \frac{1}{2} \left( 1 - \sum_{i=1}^N \left[ \mathbf{E}_{h \sim Q} h(x_i) \right]^2 \right).$$

# Bornes sur le risque de Bayes (transductif)

Nom	N	m/N	$R_S(B_Q)$	Facteur 2	C-borne
car	1728	0.1	0.105	1.092	-
car	1728	0.5	0.115	0.830	<b>0.819</b>
letter_AB	1555	0.1	0.000	<b>0.914</b>	0.961
letter_AB	1555	0.5	0.000	0.797	<b>0.626</b>
mushroom	8124	0.1	0.000	<b>0.964</b>	0.966
mushroom	8124	0.5	0.000	0.875	<b>0.546</b>
nursery	12959	0.1	0.009	0.798	<b>0.692</b>
nursery	12959	0.5	0.010	0.711	<b>0.379</b>
optdigits	3823	0.1	0.000	1.055	-
optdigits	3823	0.5	0.026	0.917	<b>0.793</b>
pageblock	5473	0.1	0.048	<b>0.979</b>	0.992
pageblock	5473	0.5	0.057	0.894	<b>0.697</b>
pendigits	7494	0.1	0.023	<b>0.989</b>	0.997
pendigits	7494	0.5	0.041	0.912	<b>0.706</b>
segment	2310	0.1	0.000	1.101	-
segment	2310	0.5	0.014	0.920	<b>0.834</b>
spambase	4601	0.1	0.115	1.096	-
spambase	4601	0.5	0.137	0.973	<b>0.961</b>

# Nouvelle approche pour l'adaptation de domaine

## Théorème

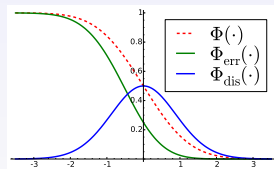
Pour toute paire de distributions  $D_S$  et  $D_T$  sur  $\mathcal{X} \times \mathcal{Y}$ , pour tout ensemble  $\mathcal{H}$  de votants  $\mathcal{X} \rightarrow [-1, 1]$ , pour tout nombre réel  $q > 0$ ,

$$\forall Q \text{ sur } \mathcal{H}, \quad R_{D_T}(G_Q) \leq \frac{1}{2} d_Q^{D_T} + \beta_q(D_T \| D_S) \times \left[ e^{D_S} \right]^{1 - \frac{1}{q}}.$$

$$\text{où } \beta_q(D_T \| D_S) = \left[ \mathbf{E}_{(x,y) \sim D_S} \left( \frac{D_T(x,y)}{D_S(x,y)} \right)^q \right]^{\frac{1}{q}}.$$

## DALC

$$C \sum_{i=1}^{m_s} \Phi_{\text{err}} \left( y_i^S \frac{\mathbf{w} \cdot \mathbf{x}_i^S}{\|\mathbf{x}_i^S\|} \right) + A \sum_{i=1}^{m_t} \Phi_{\text{dis}} \left( \frac{\mathbf{w} \cdot \mathbf{x}_i^T}{\|\mathbf{x}_i^T\|} \right) + \frac{\|\mathbf{w}\|^2}{2}$$



# Domain-Adversarial Neural Network (DANN)

$$\min_{\mathbf{w}, \mathbf{v}, \mathbf{b}, \mathbf{c}} \left[ \underbrace{\frac{1}{m} \sum_{i=1}^m -\log(f_{y_i^s}(\mathbf{x}_i^s))}_{\text{source loss}} + \lambda \max_{\mathbf{w}, d} \underbrace{\left( \frac{1}{m} \sum_{i=1}^m \log(o(\mathbf{h}(\mathbf{x}_i^s))) + \frac{1}{m} \sum_{i=1}^m \log(1 - o(\mathbf{h}(\mathbf{x}_i^t))) \right)}_{\text{adaptation regularizer}} \right],$$

where  $\lambda > 0$  weights the domain adaptation regularization term.

Given a **source sample**  $S = \{(\mathbf{x}_i^s, y_i^s)\}_{i=1}^m \sim (\mathcal{D}_S)^m$ ,  
and a **target sample**  $T = \{(\mathbf{x}_i^t)\}_{i=1}^m \sim (\mathcal{D}_T)^m$ ,

1. Pick a  $\mathbf{x}^s \in S$  and  $\mathbf{x}^t \in T$
2. Update  $\mathbf{v}$  towards  $\mathbf{f}(\mathbf{h}(\mathbf{x}^s)) = y^s$
3. Update  $\mathbf{W}$  towards  $\mathbf{f}(\mathbf{h}(\mathbf{x}^s)) = y^s$
4. Update  $\mathbf{w}$  towards  $o(\mathbf{h}(\mathbf{x}^s)) = 1$  and  $o(\mathbf{h}(\mathbf{x}^t)) = -1$
5. Update  $\mathbf{W}$  towards  $o(\mathbf{h}(\mathbf{x}^s)) = -1$  and  $o(\mathbf{h}(\mathbf{x}^t)) = 1$

**DANN finds a representation  $\mathbf{h}(\cdot)$  that are good on  $S$ ;  
but **unable to discriminate** between  $S$  and  $T$ .**

